



# БИООРГАНИЧЕСКАЯ ХИМИЯ

том 10 \* № 6 \* 1984

УДК 577.152.277.6'152 : 577.212.3 : 547.963.32.04

## РНК-ПОЛИМЕРАЗА ФАГА Т7: КЛОНИРОВАНИЕ ГЕНА И ЕГО СТРУКТУРА

Грачев М. А., Плетнев А. Г.

Новосибирский институт органической химии  
Сибирского отделения Академии наук СССР

Осуществлено клонирование в плазмидном векторе гена 1.0 бактериофага Т7, кодирующего фагоспецифическую РНК-полимеразу. Один из полученных клонов, *E. coli* K-12 НВ101 (рSK-T7-1.0a), осуществляет экспрессию гена 1.0, судя по тому, что его экстракт стимулирует синтез РНК на матрице Т7-ДНК в присутствии рифампицина. Анализ первичной структуры фрагментов гена 1.0, выделенных из плазмиды рSK-T7-1.0a, позволил уточнить последовательность нуклеотидов этого гена, установленную недавно одновременно и независимо авторами настоящей работы и другими исследователями. Другая рекомбинантная плазмиды, рSK-T7-1.0b, по данным рестрикционного картирования, не отличалась от упомянутой выше, однако она не индуцировала синтез рифампицинустойчивой РНК-полимеразы. Оказалось, что в гене 1.0, находящемся в составе этой плазмиды, делециирован один из остатков тимицина.

Для исследования механизмов транскрипции на молекулярном уровне нужно знать первичную структуру ферментов, осуществляющих этот процесс. Недавно достигнут крупный успех — расшифрована полная первичная структура РНК-полимеразы *E. coli* [1—4], одного из самых сложных ферментов, который состоит из пяти субъединиц и имеет молекулярную массу ~500 000. Вместе с тем значительный интерес представляет структура и более простых РНК-полимераз, к числу которых относится РНК-полимераза, индуцируемая бактериофагом Т7. Этот фермент состоит из одной субъединицы с молекулярной массой ~100 000. Несмотря на такую относительную простоту, он выполняет все главные функции РНК-полимераз: специфично взаимодействует с промоторами, осуществляет высокоеффективный синтез РНК и терминацию этого синтеза [5—7].

Очевидно, РНК-полимераза *E. coli* устроена гораздо сложнее потому, что в ходе функционирования в клетке она должна подвергаться воздействию множества регуляторных факторов. Фаговая полимераза, по-видимому, не нуждается в таких регуляторных воздействиях и поэтому содержит в своем составе лишь те элементы структуры, которые необходимы для выполнения упомянутых основных функций. Это обстоятельство делает изучение РНК-полимеразы Т7 особенно интересным.

Недавно нами было опубликовано краткое сообщение [8] о полной первичной структуре гена 1.0 фага Т7, кодирующему РНК-полимеразу Т7. Одновременно и независимо эту структуру расшифровали Шталь и Зинн [9]. Оказалось, что между двумя опубликованными последовательностями имеется ряд различий. В нашем исследовании [8] мы получали рестрикционные фрагменты гена 1.0 непосредственно из Т7-ДНК, не прибегая к технике клонирования. Из-за большой протяженности генома Т7 некоторые из этих фрагментов оказалось трудно выделить из гидролизатов, и ряд участков структуры поэтому удалось определить лишь по одной из двух комплементарных цепей ДНК. Недостаточно надежно была изучена также структура в области «стыков» некоторых сайтов рестрикции.

Аналогичные затруднения, вероятно, встречались и в работе Штала и Зинна [9]. В отличие от нас они полностью основывали свое исследование на использовании клонирования. Исходный материал для клонирования гена 1.0 был получен ими путем гибридизации ДНК двух делеционных мутантов фага Т7 и последующей обработки гетеродуплекса нуклеазой S<sub>1</sub>.

*MspI*

TTG ATA AGC AAC TTG ACG CAA TGT TAA TGG GCT GAT AGT CTT ATC TTA CAG GTC ATC TGC  
 GGG TGG CCT GAA TAG GTA CGA TTT ACT AAC TGG AAG AGG CAC TAA ATG AAC ACG ATT AAC  
 BspI R(10) 3180  
 Met Asn Thr Ile Asn

ATC GCT AAG AAC GAC TTC TCT GAC ATC GAA CTG GCT GCT ATC CCG TTC AAC ACT CTG GCT  
Ile Ala Lys Asn Asp Phe Ser Asp Ile Glu Leu Ala Ala Ile Pro Phe Asn Thr Leu Ala

*BspI* 3300

ATG GGT GAA GCA CGC TTC CGC AAG ATG TTT GAG CGT CAA CTT AAA GCT GGT GAG GTT GCG

GAT AAC GCT GCC GCC AAG CCT CTC ATC ACT ACC CTA CTC CCT AAG ATG ATT GCA CGC ATC

Asp Asn Ala Ala Ala Lys Pro Leu Ile Thr Thr Leu Leu Pro Lys Met Ile Ala Arg Ile

Asn Asp Trp Phe Glu Glu Val Lys Ala Lys Arg Gly Lys Arg Pro Thr Ala Phe Gln Phe  
Mw: 2640

CTG CAA GAA ATC AAG CCG GAA GCC GTA GCG TAC ATC ACC ATT AAG ACC ACT CTG GCT  
 Leu Gln Glu Ile Lys Pro Glu Ala Val Ala Tyr Ile Thr Ile Lys Thr Thr Leu Ala

CTA ACC AGT GCT GAC AAT ACA ACC GTT CAG GCT GTA GCA AGC GCA ATC GGT CGG GCC ATT  
Leu Thr Ser Ala Asp Asn Thr Thr Val Gln Ala Val Ala Ser Ala Ile Gly Arg Ala Ile

3660

GTT GAG GAA CAA CTC AAC AAG CGC GTA GGG CAC GTC TAC AAG AAA GCA TTT ATG CAA GTT  
 Val Glu Glu Gln Leu Asn Lys Arg Val Gly His Val Tyr Lys Lys Ala Phe Met Gln Val

GTC GAG GCT GAC ATG CTC TCT AAG GGT CTA CTC GGT GGC GAG GCG TGG TCT TCG TGG CAT -  
Val Glu Ala Asp Met Leu Ser Lys Gly Leu Leu Gly Gly Glu Ala Trp Ser Ser Trp His

Рис. 1. Нуклеотидная последовательность *l*-цепи ДНК фага T7 в районе гена 1.0 и аминокислотная последовательность РНК-полимеразы T7. Стрелками указаны места расщеплений эндонуклеаз рестрикции *Bsp*I и *Msp*I, R(1.0) — место расщепления РНКазы III. В рамки взяты последовательность промотора  $\phi$ 1.1A РНК-полимеразы фага T7 и промотора С бактериальной РНК-полимеразы. Подчеркнута последовательность, комплементарная 3'-концу 16S РНК рибосом, и колон терминация транскрипции

Очевидно, что такой подход в принципе может приводить к возникновению различий между структурами исходной и клонированной ДНК. Необходимо особо отметить, что в работе Шталья и Зинна [9] пет данных об экспрессии РНК-полимеразы T7 в созданном ими плазмидном штамме

В связи с изложенным нам представлялось необходимым дополнитель-  
но исследовать структуру гена 1.0 с целью ее уточнения. В настоящей раз-

*MspI*

AAG GAA GAC TCT ATT CAT GTA GGA GTA CGC TGC ATC GAG ATG CTC ATT GAG TCA ACC GGA  
 Lys Glu Asp Ser Ile His Val Gly Val Arg Cys Ile Glu Met Leu Ile Glu Ser Thr Gly

3900

ATG GTT AGC TTA CAC CGC CAA AAT GCT GGC GTA GAA GAC TCT GAG ACT ATC GAA  
 Met Val Ser Leu His Arg Gln Asn Ala Gly Val Val Gly Gln Asp Ser Glu Thr Ile Glu

CTC GCA CCT GAA TAC GAG GCT ATC GCA ACC CGT GCA GGT GCG CTG GCT GGC ATC TCT  
 Leu Ala Pro Glu Tyr Ala Glu Ala Ile Ala Thr Arg Ala Gly Ala Leu Ala Gly Ile Ser

4020

CCG ATG TTC CAA CCT TGC GTA GTT CCT CTT AAG CCG TGG ACT GGC ATT ACT GGT GGT GGC  
 Pro Met Phe Gln Pro Cys Val Val Pro Pro Lys Pro Trp Thr Gly Ile Thr Gly Gly

TAT TGG GCT AAC GGT CGT CGT CCT CTG GCG CTG GTG CGT ACT CAC AGT AAG AAA GCA CTG  
 Tyr Trp Ala Asn Gly Arg Arg Pro Leu Ala Leu Val Arg Thr His Ser Lys Ala Leu

4140

ATG CGC TAC GAA GAC GTT TAC ATG CCT GAG GTG TAC AAA GCG ATT AAC ATT GCG CAA AAC  
 Met Arg Tyr Glu Asp Val Tyr Met Pro Glu Val Tyr Lys Ala Ile Asn Ile Ala Gln Asn

4200

ACC GCA TGG AAA ATC AAC AAG AAA GTC CTA GCG GTC GCC AAC GTA ATC ACC AAG TGG AAG  
 Thr Ala Trp Lys Ile Asn Lys Val Leu Ala Val Ala Asn Val Ile Tyr Lys Trp Lys

*MspI*

*MspI*

CAT TGT CCG GTC GAG GAC ATC CCT GCG ATT GAG CGT GAA GAA CTC CCG ATG AAA CCG GAA  
 His Cys Pro Val Glu Asp Ile Pro Ala Ile Glu Arg Glu Glu Leu Pro Met Lys Pro Glu

4320

GAC ATC GAC ATG AAT CCT GAG GCT CTC ACC GCG TGG AAA CGT GCT GCC GCT GCT GTG TAC  
 Asp Ile Asp Met Asn Pro Glu Ala Leu Thr Ala Trp Lys Arg Ala Ala Val Tyr

CGC AAG GAC AGG GCT CGC AAG TCT CGC CGT ATC AGC CTT GAG TTC ATG CTT GAG CAA GCC  
 Arg Lys Asp Arg Ala Arg Lys Ser Arg Arg Ile Ser Leu Glu Phe Met Leu Glu Gln Ala

*BspI*

4440

AAT AAG TTT GCT AAC CAT AAG GCC ATC TGG TTC CCT TAC AAC ATG GAC TGG CGC GGT CGT  
 Asn Lys Phe Ala Asn His Lys Ala Ile Trp Phe Pro Tyr Asn Met Asp Trp Arg Gly Arg

GTT TAC GCC GTG TCA ATG TTC AAC CCG CAA GGT AAC GAT ATG ACC AAA GGA CTG CTT ACG  
 Val Tyr Ala Val Ser Met Phe Asn Pro Gln Gly Asn Asp Met Thr Lys Gly Leu Leu Thr

4560

CTG GCG AAA GGT AAA CCA ATC GGT AAG GAA GGT TAC TGC CTG AAA ATC CAC GGT GCA  
 Leu Ala Lys Gly Lys Pro Ile Gly Lys Glu Gly Tyr Tyr Trp Leu Lys Ile His Gly Ala

боте мы с помощью нового метода, отличного от метода Шталя и Зинна [9], получили исходный материал для клонирования гена 1.0; осуществили клонирование этого материала в плазмиде pSK [10]; показали, что один из полученных клонов экспрессирует активную РНК-полимеразу T7. Далее мы получили из плазмиды активного штамма рестрикционные фрагменты гена 1.0 и определили последовательность нуклеотидов в тех участках, где наблюдались различия между структурой [8] и структурой Шталя и Зинна [9]. Была проведена также повторная расшифровка структуры ряда других рестрикционных фрагментов ДНК фага T7, полученных без использования клонирования. Все это позволило уточнить структуру гена 1.0, надежность определения которой, очевидно, достаточно высока, так

AAC TGT GCG GGT GTG GAT AAG GTT CCG TTC CCT GAG CGC ATC AAG TTC ATT GAG GAA AAC  
Asn Cys Ala Gly Val Asp Lys Val Pro Phe Pro Glu Arg Ile Lys Phe Ile Glu Glu Asn

4680

CAC GAG AAC ATC ATG GCT TGC GCT AAG TCT CCA CTG GAG AAC ACT TGG TGG GCT SAG CAA  
His Glu Asn Ile Met Ala Cys Ala Lys Ser Pro Leu Glu Asn Thr Trp Trp Ala Glu Gln

*BspI*

GAT TCT CCG TTC TGC CTT GCG TTC TGC TTT GAG TAC GCT GGG GTA CAG CAC CAC GGC  
Asp Ser Pro Phe Cys Phe Leu Ala Phe Cys Phe Glu Tyr Ala Gly Val Gln His His Gly

4800

CTG AGC TAT AAC TGC TCC CTT CCG CTG GCG TTT GAC GGG TCT TGC TCT GGC ATC CAG CAC  
Leu Ser Tyr Asn Cys Ser Leu Pro Leu Ala Phe Asp Gly Ser Cys Ser Gly Ile Gln His

*HpaI*

TTC TCC GCG ATG CTC CGA GAT GAG GTA GGT CGC GCG GTT AAC TTG CTT CCT AGT GAG  
Phe Ser Ala Met Leu Arg Asp Glu Val Gly Arg Ala Val Asn Leu Pro Ser Glu

4920

ACC GTT CAG GAC ATC TAC GGG ATT GTT GCT AAG AAA GTC AAC GAG ATT CTA CAA GCA GAC  
Thr Val Gln Asp Ile Tyr Gly Ile Val Ala Lys Val Asn Glu Ile Leu Gln Ala Asp

GCA ATC AAT GGG ACC GAT AAC GAA GTA GTT ACC GTG ACC GAT GAG AAC ACT GGT GAA ATC  
Ala Ile Asn Gly Thr Asp Asn Glu Val Val Thr Val Thr Asp Glu Asn Thr Gly Glu Ile

5040

TCT GAG AAA GTC AAG CTG GGC ACT AAG GCA CTG GCT GGT CAA TGG CTG GCT CAC GGT GTT  
Ser Glu Lys Val Lys Leu Gly Thr Lys Ala Leu Ala Gly Gln Trp Leu Ala His Gly Val

ACT CGC AGT GTG ACT AAG CGT TCA GTC ATG ACG CTG GCT TAC GGG TCC AAA GAG TTC GGC  
Thr Arg Ser Val Thr Lys Arg Ser Val Met Thr Leu Ala Tyr Gly Ser Lys Glu Phe Gly

*HpaII* 5160

TTC CGT CAA CAA GTG CTG GAA GAT ACC ATT CAG CCA GCT ATT GAT TCC GGC AAG GGT CCG  
Phe Arg Gln Gln Val Leu Glu Asp Thr Ile Gln Pro Ala Ile Asp Ser Gly Lys Gly Pro

ATG TTC ACT CAG CCG AAT CAG GCT GGT GGA TAC ATG GCT AAG CTG ATT TGG GAA TCT GTG  
Met Phe Thr Gln Pro Asn Gln Ala Ala Gly Tyr Met Ala Lys Leu Ile Trp Glu Ser Val

5280

AGC GTG ACG GTG GTA GCT GCG GTT GAA GCA ATG AAC TGG CTT AAG TCT GCT GCT AAG CTG  
Ser Val Thr Val Val Ala Ala Val Glu Ala Met Asn Trp Leu Lys Ser Ala Ala Lys Leu

5340

CTG GCT GCT GAG GTC AAA GAT AAG AAG ACT GGA GAG ATT CTT CGC AAG CGT TGC GCT GTG  
Leu Ala Ala Glu Val Lys Asp Lys Lys Thr Gly Glu Ile Leu Arg Lys Arg Cys Ala Val

как исследование проводилось двумя независимыми лабораториями с использованием различных подходов. Наконец, изучив первичную структуру одного из участков гена 1.0 в составе рекомбинантной плазмида pSK-T7-1.0b, не индуцирующей синтез РНК-полимеразы T7, мы установили, что на этом участке делеции один из остатков тимидиловой кислоты.

Уточненная структура гена 1.0 приведена на рис. 1. Нумерация нуклеотидов от левого конца Т7-ДНК дана в соответствии с результатами Даина и Штудиера [7], которые недавно опубликовали полную первичную структуру Т7-ДНК (структуре гена 1.0 в этой публикации приводится со ссылкой на данные Шталя и Зинна [9]). Осуществленная в рамках настоящего исследования перепроверка структуры гена 1.0 показала, что в положениях 3856, 3860, 3937, 3938, 4106, 4165, 4165, 4194, 4198, 4199, 4210, 4244,

CAT TGG GTA ACT CCT GAT GGT TTC CCT GTG TGG CAG GAA TAC AAG AAG CCT ATT CAG ACG  
His Trp Val Thr Pro Asp Gly Phe Pro Val Trp Gln Glu Tyr Lys Lys Pro Ile Gln Thr

5460

CGC TTG AAC CTG ATG TTC CTC GGT CAG TTC CGC TTA CAG CCT ACC ATT AAC ACC AAC AAA  
Arg Leu Asn Leu Met Phe Leu Gly Gln Phe Arg Leu Gln Pro Thr Ile Asn Thr Asn Lys

GAT AGC GAG ATT GAT GCA CAC AAA CAG GAG TCT GGT ATC GCT CCT AAC TTT GTA CAC AGC  
Asp Ser Glu Ile Asp Ala His Lys Gln Glu Ser Gly Ile Ala Pro Asn Phe Val His Ser

5580

CAA GAC GGT AGC CAC CTT CGT AAG ACT GTA GTG TGG GCA CAC GAG AAG TAC GGA ATC GAA  
Gln Asp Gly Ser His Leu Arg Lys Thr Val Val Trp Ala His Glu Lys Tyr Gly Ile Glu

*MspI*

TCT TTT GCA CTG ATT CAC GAC TCC TTC GGT ACC ATT CCG GCT GAC GCT GCG AAC CTG TTC  
Ser Phe Ala Leu Ile His Asp Ser Phe Gly Thr Ile Pro Ala Asp Ala Ala Asn Leu Phe

5700

AAA GCA GTG CGC GAA ACT ATG GTT GAC ACA TAT GAG TCT TGT GAT GTA CTG GCT GAT TTC  
Lys Ala Val Arg Glu Thr Met Val Asp Thr Tyr Glu Ser Cys Asp Val Leu Ala Asp Phe

*MspI*

TAC GAC CAG TTC GCT GAC CAG TTG CAC GAG TCT CAA TTG GAC AAA ATG CCA GCA CTT CCG  
Tyr Asp Gln Phe Ala Asp Gln Leu His Glu Ser Gln Leu Asp Lys Met Pro Ala Leu Pro

5820

GCT AAA GGT AAC TTG AAC CTC CGT GAC ATC TTA GAG TCG GAC TTC GCG TTC GCG TAA CGC  
Ala Lys Gly Asn Leu Asn Leu Arg Asp Ile Leu Glu Ser Asp Phe Ala Phe Ala

φ i, z A

B<sub>E</sub>

CAA AAC AAT ACC ALT CAC TAT AGA GGG ACA AAC TCA AGG TCA TTC GCA AGA GTG GCC

4265, 4735, 4747, 5146, 5323, 5327, 5363, 5388 верна структура Штала и Зинна, а не опубликованная нами ранее структура [8]. На этих различиях мы останавливаются более не будем. Данные об уточнении структуры на других участках, где мы считаем нашу последовательность (рис. 1) правильной, подробно рассматриваются ниже.

Клонирование гена 1.0 Т7-ДНК было решено осуществить в составе ДНК плазмида pSK, сконструированной на основе вектора pBR 322 для клонирования промоторсодержащих фрагментов [10]. Эта плазмида отличается от плазмида pBR 322 тем, что в районе промотора  $P_{Tc}$  в ней удален короткий *alul*-фрагмент (15 н.п.). В результате делеции, нарушающей инициацию транскрипции с промотором  $P_{Tc}$ , клетки *E. coli*, несущие плазмиду pSK, утрачивают устойчивость к тетрациклину. Восстановление устойчивости к тетрациклину достигается при встраивании по *EcoRI*-сайту промоторсодержащих фрагментов, транскрипция с которых ориентирована в направлении гена *tet*. Плазмидный вектор pSK был успешно использован для клонирования фрагментов, содержащих промотор  $P_{lacUV}$ , лактозного оперона *E. coli* и промотор А<sub>2</sub> ДНК фага T7 [10].

Клонирование гена 1.0 первоначально планировалось осуществить с использованием «минорного» промотора С для РНК-полимеразы *E. coli*, расположенного в геноме фага T7 непосредственно перед геном 1.0 [11]. Мы предполагали, что в ходе транскрипции с промотора С вместе с геном 1.0 будет транскрибироваться ген *tet*, что приведет к восстановлению тетрациклической устойчивости клеток, несущих такие плазмиды. Для этого необходимо было выделить участок Т7-ДНК, в состав которого входили бы промотор С и ген 1.0.

Большая протяженность гена 1.0 и отсутствие подходящих рестриктазных сайтов в этом районе Т7-ДНК делали невозможным получение исход-

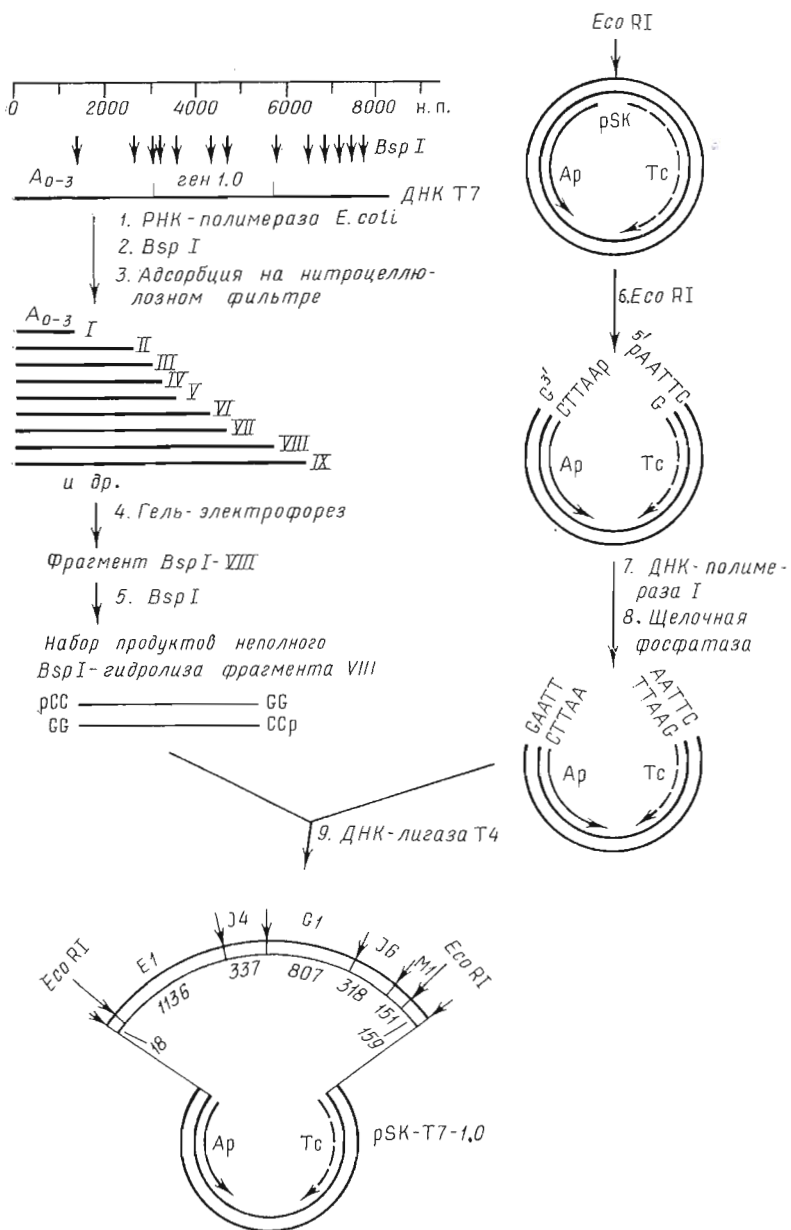


Рис. 2. Схема конструирования плазмид pSK-T7-1.0. Конструирование плазмидной ДНК осуществляли *in vitro*. 1-3 – выделение промоторсодержащих фрагментов I-IX из неполного *BspI*-гидролизата ДНК T7 в комплексе с РНК-полимеразой *E. coli* на нитроцеллюлозном фильтре согласно методу [12, 13]; 4 – разделение фрагментов *BspI*-(I-IX) электрофорезом в блоке агарозного геля; 5 – неполный гидролиз рестриктуризтазой *BspI* фрагмента VIII; 6 – расщепление ДНК pSK эндонуклеазой *EcoRI*; 7 – достройка «липких» концов ДНК ДНК-полимеразой I *E. coli* в присутствии dGTP, dATP, TTP; 8 – дефосфорилирование ДНК pSK щелочной фосфатазой; 9 – лигазная спlicing ДНК pSK с продуктами неполного *BspI*-гидролиза фрагмента VIII. Трансформацию и отбор клонов проводили как описано в «Экспер. части». Номенклатуру *BspI*-фрагментов T7-ДНК см. в работе [14].

ногого материала для клонирования путем полного гидролиза T7-ДНК доступными нам рестриктиазами. Поэтому исходный материал мы получили с помощью метода (рис. 2), который был применен нами ранее для картирования *BspI*-сайтов [12, 13]. Согласно методу, к T7-ДНК добавляют РНК-полимеразу *E. coli*, а затем нуклеазу *BspI* и проводят гидролиз так, чтобы

на геном T7 приходилось в среднем около одного рестрикционного разреза. Полученный гидролизат пропускают через нитроцеллюлозный фильтр. На фильтре удерживаются только те фрагменты ДНК, которые содержат промоторы A<sub>0</sub>—A<sub>3</sub>, расположенные вблизи левого конца T7-ДНК, поскольку именно с этими промоторами связывается ДНК-полимераза. Таким образом получается «лестница» продуктов неполного *BspI*-гидролиза T7-ДНК, изображенная на рис. 2.

Эти фрагменты далее разделяли гель-электрофорезом в агарозе и выделяли фрагмент *BspI*-VIII, в состав которого входит промотор С и ген 1.0. Фрагмент *BspI*-VIII вновь подвергали частичному гидролизу рестриктазой *BspI* и гидролизат непосредственно вводили в реакцию лигазной спlicing с ДНК плазмида pSK, подготовленной как показано на рис. 2. Подготовка заключалась в том, что ДНК плазмида pSK гидролизовали рестриктазой *EcoRI* и образовавшиеся липкие концы достраивали ДНК-полимеразой I *E. coli* в присутствии dGTP, dATP и dTTP, а для уменьшения фона вектора при трансформации проводили также обработку щелочной фосфатазой *E. coli*. Белки удаляли фенольной экстракцией, а вектор использовали в реакции лигазной спlicing. Полученной после лигирования смесью трансформировали клетки *E. coli* K12 HB101. Трансформанты высевали на чашки со средой, содержащей ампциллин (40 мкг/мл). Эффективность трансформации составляла ~10<sup>4</sup> колоний на 1 мкг ДНК вектора.

Селекцию клонов мы попытались осуществить, исходя из изложенного выше плана, по восстановлению устойчивости к тетрациклину (10 мкг/мл). Однако все полученные клоны обладали фенотипом Ar<sup>r</sup>, Tc<sup>s</sup>, т. е. оставались чувствительными к тетрациклину. Таким образом, использовать активность промотора С для клонирования гена 1.0 нам не удалось. Поэтому отбор содержащих ген 1.0 клонов мы проводили методом гибридизации *in situ* по [15]. Отпечаток с чашки на нитроцеллюлозном фильтре обрабатывали для денатурации и иммобилизации ДНК плазмид как описано в работе [15], а затем проводили гибридизацию с *BspI*-фрагментами T7-ДНК, картированными в гене 1.0. Эти фрагменты метили <sup>32</sup>P методом ник-трансляции. Отбор проводили в два этапа. Первоначально были отобраны клоны, ДНК плазмид которых гибридизовалась с <sup>32</sup>P-меченным фрагментом *BspI*-M1, картированным вблизи левого конца гена 1.0, а затем среди этих клонов были отобраны клоны, несущие рекомбинантные плазмидные ДНК, которые гибридизовались с <sup>32</sup>P-меченным фрагментом *BspI*-J4, картированным в середине гена 1.0 [14] (см. рис. 2). В результате было отобрано два клона. ДНК плазмид этих клонов (далее плазмида pSK-T7-1.0a и pSK-T7-1.0b) содержали вставки, отделяющиеся от векторной ДНК при гидролизе эндонуклеазой *EcoRI*. Вставки имели одинаковую длину порядка 3000 н.п. Для доказательства того, что вставки содержат весь ген 1.6, мы пометили их методом ник-трансляции и гибридизовали *in situ* с отпечатком гель-электрофорограммы *BspI*-гидролизата T7-ДНК на нитроцеллюлозном фильтре. Оказалось, что вставки ДНК pSK-T7-1.0 гибридизуются только с фрагментами *BspI*-M1, -J6, -G1, -J4, -E1, принадлежащими гену 1.0 и полностью покрывающими его (картирование и номенклатуру *BspI*-фрагментов T7-ДНК см. [14], рис. 3).

Ориентация гена 1.0 в плазмидах pSK-T7-1.0, указанная на рис. 2, была установлена по данным рестрикционного анализа (рис. 4). При гидролизе ДНК pSK-T7-1.0 эндонуклеазой *BspI* появляются фрагменты *BspI*-E1, -G1, -J6, -J4 (не принадлежащие векторной ДНК) и фрагмент длиной ~320 н.п. Последний при гидролизе *EcoRI* расщепляется с образованием фрагмента длиной ~160 н.п. (очевидно, фрагмент M1) и фрагмента *BspI*+*EcoRI*-гидролиза ДНК pSK длиной 159 н.п. (см. рис. 2). Анализ нуклеотидных последовательностей концевых фрагментов *BspI*-гидролизата <sup>32</sup>P-меченых *EcoRI*-вставок ДНК pSK-T7-1.0a и pSK-T7-1.0b подтвердил, что концевыми *BspI*-фрагментами во вставках являются фрагменты M1 и E1 ДНК T7. Таким образом, ген 1.0 ориентирован в плазмидах в направлении, противоположном направлению гена *tet*.

Интересно было выяснить, происходит ли накопление РНК-полимеразы T7 в клетках, обладающих рекомбинантными плазмидами, поскольку из-

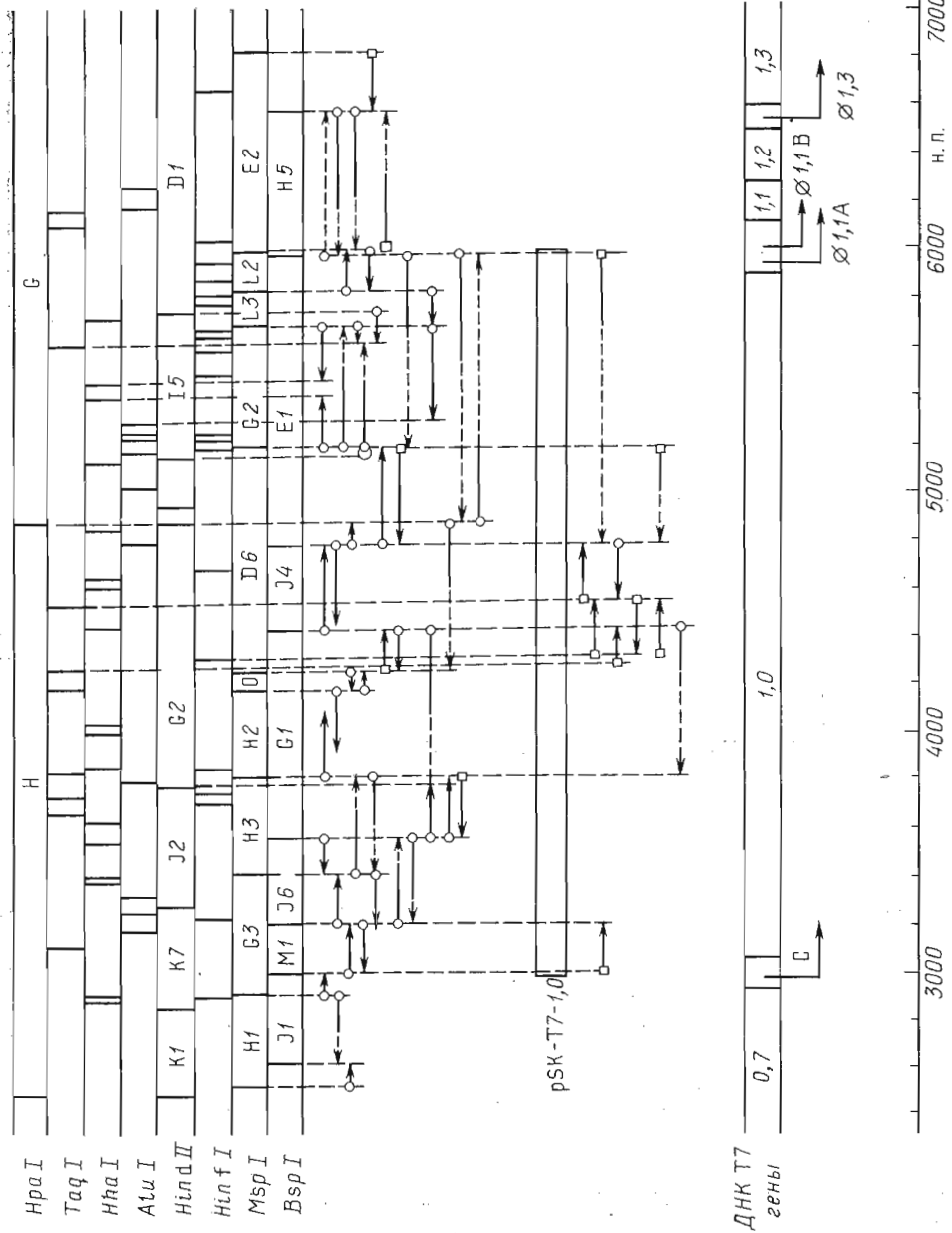


Рис. 3. Схема установления нуклеотидной последовательности и карта расщепления участка в районе гена 1.0 ДНК Т7 и EcoRI-вставки ДНК pSK-T7-1,0a. Фрагменты, получающиеся при действии рестриктаз, изображены прямоугольниками. Стрелки указывают направление от концевой метки, а сплошная часть стрелок обозначает установленную последовательность данной цели. Кружок и квадратик – радиоактивный  $^{32}$ - или  $^{35}$ -кобальтовый остаток соответственно. С – промотор РНК-полимеразы *E. coli*, φ1,1A, φ1,1B и φ1,3 – промоторы РНК-полимеразы Т7

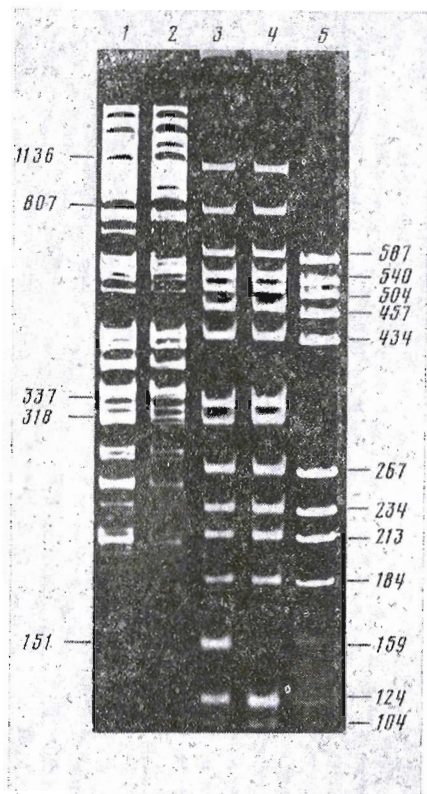


Рис. 4. Результаты гель-электрофореза продуктов гидролиза ДНК T7 и ДНК плазмид pSK и pSK-T7-1.0a: 1 и 2 — гидролизат ДНК T7, полученный действием эндонуклеазы *Bsp*I; 3 — гидролизат ДНК плазмиды pSK-T7-1.0a, полученный действием эндонуклеаз *Bsp*I и *Eco*RI. Слева указаны длины *Bsp*I-фрагментов ДНК T7, справа — фрагменты *Bsp*I-гидролизата ДНК pSK, согласно [7, 10]. Электрофорез проводили 6 ч в блоке 20×20×0,5 см 4% ПААГ в буфере ТАЕ при 100 В

вестно, что транскрипция гена устойчивости к ампициллину может осуществляться и со стороны гена *tet* [16, 17]. С этой целью мы проверяли активность РНК-полимеразы в грубых лизатах клеток в присутствии  $5 \cdot 10^{-5}$  М рифампицина. Антибиотик в этой концентрации полностью блокирует активность РНК-полимеразы *E. coli*, но не влияет на активность РНК-полимеразы T7 [18, 19], что позволяет различать активности обоих ферментов в очищенных экстрактах клеток. Результаты измерений сведены в табл. 1. В клетках *E. coli* HB101 (pSK-T7-1.0a) наблюдается активность РНК-полимеразы, устойчивой к рифампицину. Эта активность соизмерима с активностью РНК-полимеразы T7 в клетках *E. coli* B, инфицированных бактериофагом T7. Плазмида pSK-T7-1.0b не индуцирует рифампицинуустойчивую РНК-полимеразу.

ДНК плазмиды pSK-T7-1.0a использовалась нами для уточнения нуклеотидной последовательности гена 1.0. Для этого из состава ДНК плазмиды после гидролиза эндонуклеазой *Eco*RI и последующего разделения фрагментов электрофорезом в ПААГ выделяли ДНК-вставку, которую гидролизовали одной из эндонуклеаз *Msp*I, *Taq*I, *Hinf*I, *Bsp*I (см. рис. 3). В образовавшиеся фрагменты вводили  $^{32}P$ -метку, как описано в «Экспериментальной части», и фрагменты подвергали повторному гидролизу эндонуклеазами рестрикции.  $^{32}P$ -Меченные субфрагменты разделяли гель-электрофорезом. Структуру определяли модифицированным методом Максама — Гилберта [20–23]. Схема установления первичной структуры по данным анализа фрагментов из *Eco*RI-вставки ДНК плазмиды pSK-T7-1.0a и фрагментов ДНК T7 представлена на рис. 3. В этой структуре идентифицированы все сайты рестрикции, полностью согласующиеся с опубликованными данными картирования [14], а также участок действия РНКазы III, промотор C для РНК-полимеразы *E. coli* и промотор ф1.1A для РНК-полимеразы T7.

При определении структуры гена в ряде случаев мы наблюдали явления «компрессии» разных типов: нерегулярное изменение расстояний между полосами на радиоавтографах гелей, сдавливание соседних полос, инвер-

Таблица 1

**Активность рифампицинустойчивой РНК-полимеразы  
в лизатах клеток плазмидных штаммов *E. coli***

Клетки	Активность *, имп/мин
<i>E. coli</i> HB 101 (pBR322)	560 ( $\pm 20$ )
<i>E. coli</i> HB 101 (pSK-T7-1.0a)	53 700 ( $\pm 15$ )
<i>E. coli</i> HB 101 (pSK-T7-1.0b)	480 ( $\pm 20$ )
<i>E. coli</i> B, инфицированные фагом T7	80 490 ( $\pm 10$ )

\* Активность определяли по включению [<sup>14</sup>C]AMP в кислотонепротиворимый продукт. Приведены усредненные данные трех-четырех определений с экстрактами независимо выращенных клеток; в скобках указаны отклонения, в процентах.

Таблица 2

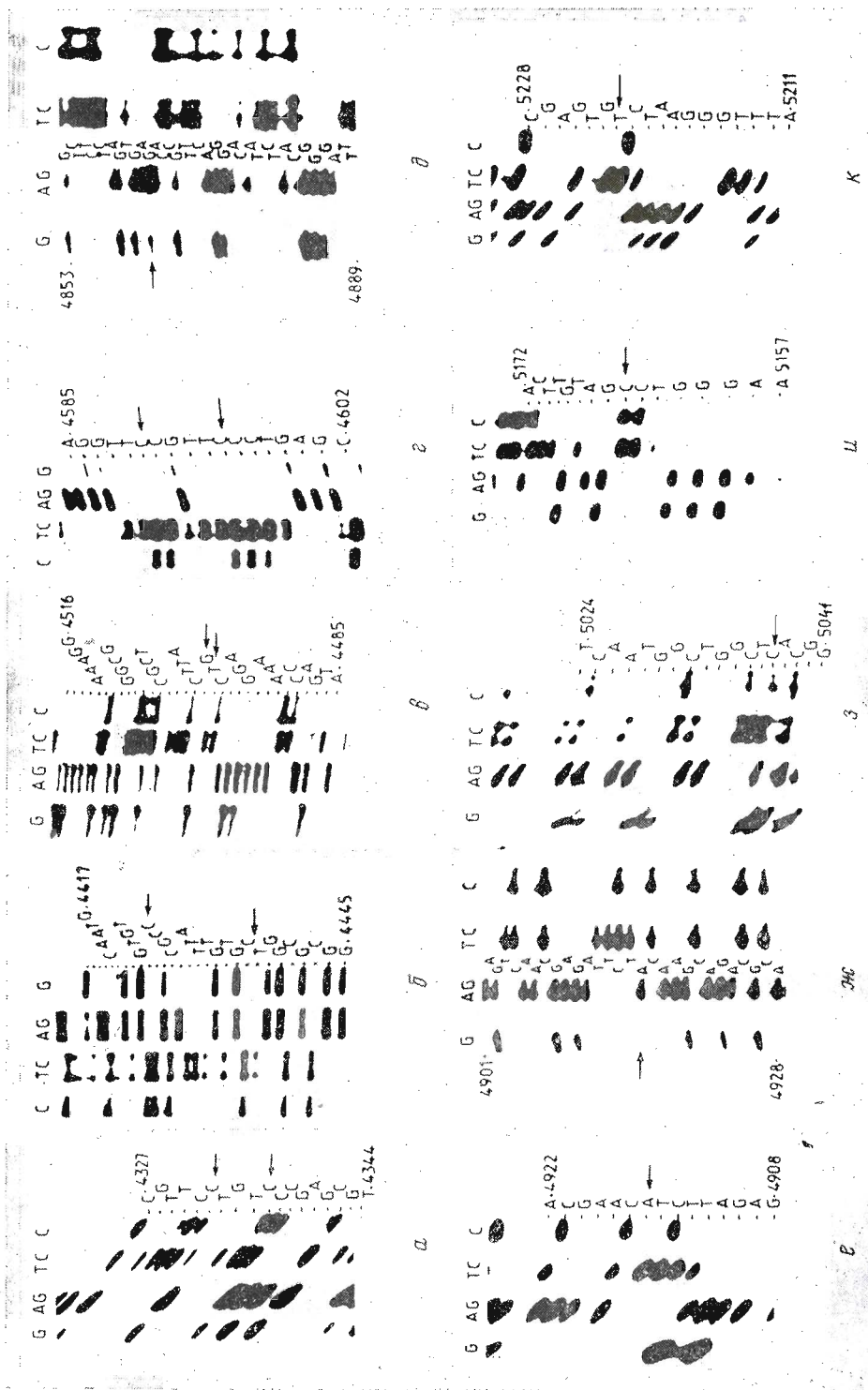
**Различия в структурах гена 1.0 ДНК Т7, определенных  
в настоящей работе и в работе [9]**

Участок различия, номера нуклеотидов *	Данные работы [9]	Данные настоящей работы
4326—4341	CGCAAGACAAGGCTC	CGCAAGGACAGGGCTC
4437—4449	CGCGGTTCCGTGTTT	CGCGGTCGTGTTT
4447—4457	TTTACGCTGTG	TTTACGCCGTG
4494—4503	GGACGTCTTA	GGACTGCTTA
4586—4599	GGTCGTTCTCTG	GGTCGTTCCCTG
4860—4869	AGTGAAACCG	AGTGAGACCG
4911—4921	ATTCTGCAAGC	ATTCTACAAGC
5031—5041	CTGGCTTACGG	CTGGCTCACGG
5159—5169	GGGTCTGATGT	GGGTCCGATGT
5217—5227	GAATCCGTGAG	GAATCTGTGAG

\* По работе [7].

сию подвижности фрагментов. Преодолеть «компрессию» иногда удавалось за счет более жестких условий электрофореза или путем анализа структуры комплементарной цепи. Например, сдавливание соседних полос при фракционировании продуктов неполной химической деградации, полученных по модифицированному методу Максама — Гилберта, наблюдалось в районе 3747-го нуклеотидного остатка при анализе цепи фрагмента *Bsp*I-J6. Анализ цепи, комплементарной этому участку, показал, что в положении 3747 находится остаток аденоцина, а не гуанозина. При секвенировании фрагмента длиной 146 н.п. (фрагмент *Msp*I (4261) — *Bsp*I (4407), см. рис. 1) из состава ДНК Т7 мы столкнулись с компрессией типа инверсии подвижности фрагмента, заканчивающегося на остаток цитидина-4309. Остаток гуанозина-4308 не выявлялся по этой причине в трех независимых экспериментах при секвенировании фрагмента, расположенного между нуклеотидными остатками 4261—4407. Только секвенирование более коротких фрагментов из состава ДНК pSK-T7-1.0 и из ДНК Т7 (фрагмент 4271—4579, полученный из *Taq*I-гидролизата *Eco*RI-вставки плазмиды pSK-T7-1.0a, или фрагмент 4278—4586, полученный из *Hinf*I-гидролизата *Eco*RI-вставок ДНК плазмиды pSK-T7-1.0, или этот же фрагмент из ДНК Т7) по обеим комплементарным цепям выявило, что в положении 4308 действительно находится остаток гуанозина.

В результате перепроверки данных структурного анализа фрагментов, принадлежащих гену 1.0, выяснилось, что уточненная нами структура отличается от структуры, определенной в работе [9], в 13 местах (см. табл. 2). Радиоавтографы соответствующих участков структурных гелей показаны на рис. 5. Часть этих различий — точечные замены оснований —



яе приводит к изменению аминокислотной последовательности. Наиболее существенные различия следующие. В структуре [9] между G (4331) и A (4332) отсутствует имеющийся, по нашим данным, остаток гуанозина. В структуре, определенной Шталем и Зинном, имеется остаток T (4443), отсутствующий по нашим данным. Следствием этих различий является изменение структуры белка на участке в 37 аминокислотных остатков. Остальные различия нуклеотидной последовательности либо не приводят к замене аминокислот, либо дают лишь точечные замены. Еще раз отметим, что в табл. 2 показаны только те участки, на которых мы считаем правильной нашу структуру. Те участки, на которых, по уточненным данным, оказалась верной структура [9], перечислены выше.

Различия в структурах гена 1.0, определенных нами и в работе [9], могут быть объяснены тем, что исследовались различные объекты. В работе Штала и Зинна [9] исследована структура клонированного фрагмента, включающего в себя ген 1.0. Этот фрагмент получен из ДНК двух делеционных мутантов фага T7: H3 и LG3. В процессе подготовки гетеродуплексного участка для клонирования использовалась нуклеаза S<sub>1</sub>, действие которой могло вызвать изменения структуры. В работе [9] ничего не говорится об экспрессии гена 1.0 в бактериальных клетках, несущих рекомбинантные плазмида, — неизвестно, продуцирует ли этот плазмидный штамм активную РНК-полимеразу T7.

В нашей работе исследовались два объекта: ДНК фага T7 дикого типа и ДНК плазмида pSK-T7-1.0a, индуцирующая синтез активной РНК-полимеразы T7. В другом плазмидном штамме *E. coli* HB101 (pSK-T7-1.0b) такая активность отсутствовала. Рестрикционный анализ ДНК плазмид не выявил различий между вставками pSK-T7-1.0a и pSK-T7-1.0b. Однако анализ последовательности нуклеотидов ДНК плазмида pSK-T7-1.0b на участке гена 1.0 4278–4586 и.п. обнаружил, что тимидин-4316 в ней делецирован (рис. 6). Возможно, именно эта делеция приводит к тому, что ген 1.0 становится неактивным в составе рекомбинантной плазмиды. Очевидно, что с возможностью изменений структуры генов в результате клонирования нельзя не считаться.

Аминокислотная последовательность, вытекающая из нуклеотидной последовательности, показана на рис. 1. Из двух комплементарных цепей ДНК значащей является L-цепь. Анализ рамки трансляции проводился с помощью машинной обработки. При этом оказалось, что только в одной из трех возможных рамок трансляции в L-цепи ДНК не встречается терминирующих кодонов на участке от 3171-го до 5819-го нуклеотидного остатка. В двух других рамках трансляции и во всех рамках трансляции R-цепи ДНК аминокислотная последовательность обрывается на коротких участках кодонами терминации трансляции. Нуклеотидная последовательность L-цепи от кодона ATG (3171–3173), кодирующего N-концевой метионин, транскрибируется в аминокислотную последовательность, представленную на рис. 1, и заканчивается терминатором ТАА, находя-

Рис. 5. Участки радиоавтографов, полученных со структурных гелей, на которых фракционировались продукты химических деградаций фрагментов; *a* — *MspI* (4260) — *BspI* (4407); *b* — L-цепи фрагмента *BspI*-J4 (4408–4744); *c* — L-цепи фрагмента *BspI*-J4 (4408–4744); *d* — фрагмента *BspI* (4408) — *HinfI* (4686), полученного из ДНК pSK-T7-1.0a; *e* — фрагмента *BspI* (4745) — *MspI* (5152); *f* — фрагмента *HpaI* (4848) — *MspI* (5152); *g* — фрагмента *BspI* (4745) — *MspI* (5152); *h* — фрагмента *BspI* (4745) — *MspI* (5152); *i*, *k* — фрагмента *MspI* (5153) — *HhaI* (5340). Буквы над колонками указывают специфичность реакций химической модификации, в которых получен данный набор фрагментов. Вертикальный ряд букв показывает, как «читается» нуклеотидная последовательность с этого участка радиоавтографа. Цифрами слева или справа от радиоавтографа указана нумерация данного остатка основания в нуклеотидной последовательности гена 1.0 ДНК T7, представленной на рис. 1. Стрелками указаны различия в последовательности нуклеотидов, представленной на рис. 1, от последовательности нуклеотидов, определенной в работе [9].

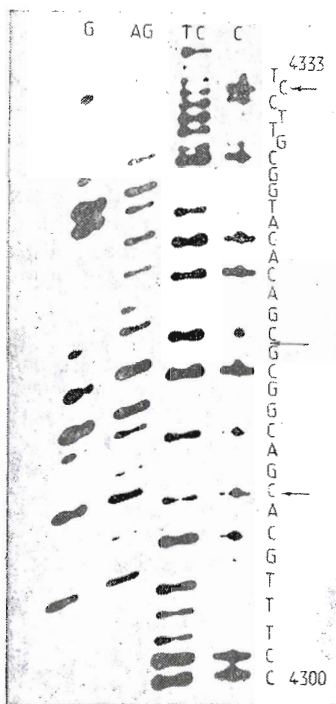


Рис. 6. Участок радиоавтографа, полученного со структурного геля, на котором фракционировались продукты химической деградации фрагмента *TaqI* (4271) – *BspI* (4407) ДНК *pSK-T7-1.0b* модифицированным методом Максама – Гилберта

РНК-полимеразы Т7 можно выделить кластеры основных аминокислотных остатков (например, аминокислотная последовательность, кодируемая L-цепью ДНК на участке от 4325-го до 4355-го основания). Эти кластеры – возможные претенденты на роль участков ферmenta, осуществляющих взаимодействие с ДНК или РНК.

Обработка данных прямого сравнительного анализа аминокислотных последовательностей субъединиц РНК-полимеразы *E. coli* и РНК-полимеразы Т7 не выявляет гомологий на участках длиной более пяти аминокислотных остатков. Частота встречаемости таких участков гомологии не превышает случайной. Таким образом, из сопоставления первичных структур бактериального и фагового ферmenta вытекает, что эти белки имеют независимое эволюционное происхождение.

Следует особо обсудить еще один результат настоящего исследования – получение плазмидного штамма, продуцирующего РНК-полимеразу Т7. Известно, что выделение РНК-полимеразы Т7 из клеток *E. coli* В, зараженных фагом Т7, довольно сложно. Для получения биомассы *E. coli* В, инфицированных фагом Т7 и пригодных для выделения РНК-полимеразы Т7, необходима предварительная наработка фага; при инфекции клеток возникает проблема синхронизации процесса, которая достигается большой множественностью заражения, и, наконец, проблема остановки роста зараженных клеток в определенный момент (от 8 до 12 миц) после заражения, так как содержание РНК-полимеразы Т7 после инфекции проходит через максимум [7]. Эти проблемы, по-видимому, не должны возникать при использовании плазмидного штамма-продуцента, *E. coli* HB101 (*pSK-T7-1.0a*). На его основе, по-видимому, возможно конструирование еще более эффективных продуцентов РНК-полимеразы Т7, а также создание штаммов *E. coli*, продуцирующих мутанты по РНК-полимеразе Т7,

щимся в положениях 5820–5822. Правильность определения концевых последовательностей белка, по данным структуры ДНК, подтверждается результатами прямого исследования N- и C-концевых аминокислотных последовательностей РНК-полимеразы Т7 [11, 24]. Инициирующему кодону ATG (3171–3173) РНК-полимеразы Т7 предшествует тетрануклеотид GAGG (3161–3164), комплементарный последовательности 3'-конца 16S рРНК [25].

Как оказалось, полипептидная цепь РНК-полимеразы Т7 состоит из 883 аминокислотных остатков, суммирование молекулярных масс которых дает значение молекулярной массы белка, равное  $9,81 \cdot 10^4$ , что соответствует в пределах ошибки определения данным прямого определения молекулярной массы белка методом гель-электрофореза и гель-фильтрации [5, 26]. В табл. 3 сопоставлен аминокислотный состав РНК-полимеразы фага Т7, найденный из нуклеотидной последовательности гена 1.0, с данными прямого анализа белка [26]. Видно, что соответствие найденных двумя методами составов РНК-полимеразы Т7 неплохое. РНК-полимераза Т7 является слабокислым белком: на 110 остатков дикарбоновых аминокислот приходится 107 остатков основных аминокислот. В полипептидной цепи РНК-полимеразы Т7 наиболее часто встречаются остатки аланина, лизина, лейцина и глутаминовой кислоты. Как и в случае  $\beta$ - и  $\beta'$ -субъединиц РНК-полимеразы *E. coli*, в структуре РНК-

## Аминокислотный состав РНК-полимеразы T7

Аминокислота	Данные настоящей работы		Данные работы [26]
	число остатков	$10^2$ моль/моль белка	
Asp	43	4,9	
Asn	40	4,5	
Thr	44	5,0	
Ser	41	4,6	
Gln	33	3,7	
Glu	67	7,6	
Pro	38	4,3	
Gly	54	6,1	
Ala	100	11,3	11,8
$\frac{1}{2}$ Cys	12	1,4	2,3
Val	58	6,6	6,3
Met	26	3,0	2,3
Ile	52	5,6	4,7
Leu	66	7,5	7,1
Tyr	23	2,6	1,8
Phe	37	4,2	3,4
His	23	2,6	2,2
Lys	65	7,4	7,0
Arg	42	4,8	4,9
Trp	19	2,2	1,2

с целью выявления участков гена 1.0, ответственных за кодирование активных центров фермента. Плазмида pSK-T7-1.0а вместе с плазмидой pBR 322-pT7, созданной нами в качестве источника промотора класса III для РНК-полимеразы T7 [27], делает возможным создание вектора для клонирования и экспрессии различных генов на основе активности РНК-полимеразы и ее промотора.

## Экспериментальная часть

В работе использованы гидразингидрат, диметилсульфат, пиперидин, формамид (Merck, ФРГ); ампциллин, тетрациклин, хлорамфеникол, агароза, акриламид, N,N'-метиленбисакриламид (Sigma, США). Выделение промоторных фрагментов и гибридизацию нуклеиновых кислот осуществляли с помощью фильтров BA-85 (Schleicher und Schüll, ФРГ). Использовались также трипс (Merck, ФРГ) (для электрофореза применяли трипс Олайнского завода химреактивов), [ $^{14}$ C]ATP (550 мКи/ммоль, Amersham, Англия), [ $\alpha$ - $^{32}$ P]dNTP (3000 Ки/ммоль), [ $\gamma$ - $^{32}$ P]ATP (3000 Ки/ммоль) фирмы «Изотоп» (СССР), dNTP (Sigma, США). Щелочная фосфатаза, тРНК, ДНК-лигаза фага T4, эндонуклеазы рестрикции *Alu*I, *Eco*RI, *Bsp*I – препараты производства СКТБ БАВ (Новосибирск); полинуклеотидкиназа фага T4 любезно предоставлена М. И. Ривкиным (ИЦиГ СО АН СССР), ДНК-полимераза I *E. coli* и ДНК-полимераза I *E. coli* (фрагмент Кленова) – В. В. Потаповым (ИЦиГ СО АН СССР), *Hpa*I, *Hinf*I – П. М. Чумаковым (ИМБ АН СССР), *Hind*II, *Hha*I – В. Г. Коробко (ИБХ АН СССР). *Bsu*RI выделяли методом [28], *Taq*I – методом [29]. Препараты РНК-полимеразы *E. coli* производства СКТБ БАВ дополнительно очищали по методу [30]. Фаг T7<sup>+</sup> (предоставлен Ф. У. Штудиером, США) выделяли по методу [31], ДНК фага T7 получали из фага фенольной экстракцией согласно работе [32]. ДНК плазмид pBR 322, pSK, pSK-T7-1.0 выделяли из клеток *E. coli* HB101, выращенных на LB-среде (10 г триптона, 10 г дрожжевого экстракта, 5 г NaCl на 1 л среды); выделение проводили согласно [33, 34]. Биомассу *E. coli* B, инфицированную фагом T7, получали по [26]; при достижении мутности культуры  $A_{550}=3,5-4$  клетки заражали фагом T7 с множест-

венностью 10. После 10 мин инкубации рост клеток останавливали добавлением хлорамфеникола до концентрации 50 мг/л и охлаждением культуры до 4° С, клетки собирали центрифугированием.

**Разделение фрагментов ДНК.** Фрагменты ДНК Т7 или pSK-T7-1.0 разделяли электрофорезом в пластинах полиакриламидного и агарозного геля. Концентрацию и размеры геля выбирали в зависимости от молекулярной массы разделяемых фрагментов. Для разделения фрагментов длиной от 50 до 2000 н.п. использовали 4% ПААГ с размером 20×40×0,1 см. Обычно использовали буфер ТВЕ (50 мМ трис-борат, 2 мМ EDTA, pH 8,3) или ТАЕ (50 мМ трис, 20 мМ ацетат натрия, 2 мМ EDTA, pH 8,05) и соотношение акриламид/метиленбисакриламид=30/1. Для preparативных наработок фрагментов из полных гидролизатов ДНК Т7 и pSK-T7-1.0, полученных действием рестриктаз *Bsp*I, *Msp*I, *Hind*II, применяли 4% ПААГ размером 30×80×0,3 см. Разделение фрагментов из *Hpa*I-гидролизата ДНК Т7 и *Eco*RI-гидролизата ДНК pSK-T7-1.0 проводили электрофорезом в пластинах 0,7% агарозы (20×30×1 см) в буфере ТАЕ.

После окончания электрофореза фрагменты ДНК выявляли окрашиванием в растворе бромистого этидия (1 мкг/мл) в течение 10–20 мин и фотографировали в УФ-свете на пленку «Микрат-300» («Тасма») через светофильтр ОС-14.

Для разделения продуктов неполной химической деградации фрагментов ДНК при определении нуклеотидных последовательностей применяли электрофорез в ПААГ с 7 М мочевиной в буфере ТВЕ в пластинах размером от 20×40×0,05 до 30×100×0,05 см в условиях, описанных в работе [20].

Радиоактивно меченные фрагменты ДНК выявляли радиоавтографией на рентгеновской пленке РМ-1 «Свема» с использованием усиливающих экранов ЭУ-ВЗ У4.2. Радиоавтограф использовали в качестве шаблона для вырезания полос геля, в которых были локализованы радиоактивно меченные фрагменты ДНК.

**Расщепление ДНК эндонуклеазами рестрикции** *Bsp*I, *Hpa*I, *Hha*I, *Msp*I проводили в буфере В1 (25 мМ трис-HCl, pH 7,9, 50 мМ NaCl, 10 мМ MgCl<sub>2</sub>, 10 мМ β-меркаптоэтанол) при 37° С в течение 1 ч, добавляя 1 ед. акт. ферmenta на 1 мкг ДНК. Расщепление эндонуклеазой *Taq*I проводили аналогично, но при 65° С. Расщепление *Hind*II и *Hinf*I осуществляли в буфере В1, но в отсутствие NaCl, а эндонуклеазой *Eco*RI – в буфере В1, но концентрация NaCl была 100 мМ. Концентрация ДНК в реакционных смесях составляла 0,1 мг/мл. Полноту гидролиза ДНК проверяли электрофорезом фрагментов в пластинах 4% ПААГ.

**Дефосфорилирование фрагментов ДНК** осуществляли щелочной фосфатазой *E. coli* (0,05 ед. акт. на 1 мл смеси) в буфере, содержащем 10 мМ трис-HCl (pH 8,8) и 10 мМ MgCl<sub>2</sub>, в течение 1 ч при 37° С. Концентрация концевых фосфатов фрагментов в реакционной смеси составляла 1–3 мКМ. Фермент удаляли из смеси двукратной экстракцией фенолом, насыщенным буфером TE (10 мМ трис-HCl, pH 7,9, 1 мМ EDTA). Фрагменты ДНК осаждали 75% этанолом из 1 М NaCl. В некоторых экспериментах после депротеинизации фенол удаляли экстракцией эфиром, а водную фракцию подвергали гель-фильтрации на колонке (2 мл) с сефадексом G-50 в буфере TE.

**Введение <sup>32</sup>P-метки в 5'-концы фрагментов ДНК.** Фосфорилирование фрагментов ДНК проводили с помощью полинуклеотидкиназы фага T4. Для этого фрагмент (10 пмоль) в 10 мкл буфера, содержащего 10 мМ трис-HCl (pH 9,5), 1 мМ спермидин, нагревали 2 мин при 90° С, быстро охлаждали до 0° С и добавляли трис-HCl (pH 9,5) до концентрации 50 мМ, MgCl<sub>2</sub> до концентрации 10 мМ, β-меркаптоэтанол до концентрации 10 мМ, [ $\gamma$ -<sup>32</sup>P]ATP до концентрации 10 мКМ, 1–2 ед. акт. полинуклеотидкиназы. Реакционную смесь инкубировали 1 ч при 37° С. Реакцию останавливали добавлением EDTA до 10 мМ и меченные фрагменты отделяли от АТР переосаждением этанолом или гель-фильтрацией на колонке (2 мл) с сефадексом G-50 в буфере TE.

**Введение  $^{32}\text{P}$ -метки в 3'-концы фрагментов ДНК.** Реакционную смесь, содержащую dNTP, 5–10 пмоль фрагмента ДНК, 5 ед. акт. ДНК-полимеразы I *E. coli* (фрагмент Кленова [35]) в буфере Р (20 мМ трис-HCl, pH 7,6, 10 мМ MgCl<sub>2</sub>, 10 мМ  $\beta$ -меркаптоэтанол), инкубировали 20 мин при 37° С. Концентрация dNTP в реакционной смеси составляла 0,1 мМ, концентрация  $^{32}\text{P}$ -меченого dNTP – 10 мКМ. При достройке фрагментов ДНК из *MspI*- и *TaqI*-гидролизатов использовали dGTP и [ $\alpha$ - $^{32}\text{P}$ ]dCTP, для достройки фрагментов из *EcoRI*- и *HinfI*-гидролизатов – dGTP, dTTP и [ $\alpha$ - $^{32}\text{P}$ ]dATP. Реакцию останавливали добавлением EDTA до 10 мМ, NaCl до 1 М; фрагменты ДНК осаждали этанолом.

**Введение статистической  $^{32}\text{P}$ -метки во фрагменты ДНК.** «Ник-трансляцию» фрагментов ДНК осуществляли ДНК-полимеразой I *E. coli* в смеси, содержащей буфер Р, 2 пмоль фрагмента ДНК, 2 ед. акт. фермента, 0,02 М dGTP, dATP, dTTP и 1 мКМ [ $\alpha$ - $^{32}\text{P}$ ]dCTP. Реакцию проводили 1 ч при 37° С, фрагменты ДНК осаждали спиртом.

**Конструирование рекомбинантных плазмид. а. Выделение фрагментов ДНК T7 для встраивания в плазиды.** Из неполного *BspI*-гидролизата ДНК T7 фрагмент *BspI*-VIII (рис. 2) выделяли фильтрованием фрагментов в комплексе с РНК-полимеразой *E. coli* через нитроцеллюлозные фильтры, как описано в работе [13]. После элюции фрагментов с фильтров проводили электрофорез в 0,7% агарозе. Фрагмент *BspI*-VIII электоэлюировали из геля по методике [36] и подвергали повторному неполному гидролизу эндонуклеазой *BspI*. Для этого 5 мкг фрагмента *BspI*-VIII в 50 мкл буфера В1 гидролизовали 0,5 ед. акт. *BspI* в течение 10 мин. Фермент инактивировали экстракцией 50 мкл фенола, насыщенного буфером TE, и продукты гидролиза фрагмента *BspI*-VIII переосаждали дважды 75% этанолом из 1 М NaCl. Осадок растворяли в буфере Р.

**б. Подготовка вектора.** 2 мкг ДНК плазиды pSK расщепляли эндонуклеазой *EcoRI*, образовавшиеся «липкие» концы достраивали ДНК-полимеразой I в присутствии dATP, dGTP и dTTP и после осаждения ДНК этанолом проводили дефосфорилирование. Белки удаляли экстракцией фенолом, а ДНК дважды переосаждали спиртом.

**в. Лигазное сшивание.** Линеаризованную ДНК pSK использовали в реакции лигазной сшивки с продуктами гидролиза эндонуклеазой *BspI* фрагмента *BspI*-VIII ДНК T7. С этой целью 2 мкг ДНК плазиды, подготовленной как описано выше, и 5 мкг продуктов неполного расщепления фрагмента *BspI*-VIII растворяли в 30 мкл буфера Р, к смеси добавляли АТР до концентрации 0,5 мМ и 0,5 ед. акт. ДНК-лигазы фага T4. Реакцию проводили 12 ч при 4° С. Полученную смесь использовали для трансформации клеток *E. coli* K12 HB101.

**Трансформация клеток *E. coli* и отбор клонов. а. Трансформация клеток.** Культуру клеток *E. coli* K12 HB101 (*F*<sup>+</sup> *pro*<sup>+</sup> *leu*<sup>+</sup> *thi*<sup>+</sup> *gal*<sup>+</sup> *lacY*<sup>+</sup> *str*<sup>r</sup><sup>m</sup> *EndoI*<sup>+</sup> *recA*<sup>+</sup>) выращивали в 100 мл LB-среды до мутности  $A_{550}$  0,6, бактериальные клетки осаждали центрифугированием и суспендировали в 50 мл 50 мМ CaCl<sub>2</sub>. Клетки выдерживали 6 ч при 0° С, центрифугировали и суспендировали в 2 мл 50 мМ CaCl<sub>2</sub>. К 200 мкл суспензии клеток добавляли 30 мкл продуктов лигирования, указанных выше. Клетки инкубировали 30 мин при 0° С и 2 мин при 42° С, добавляли 1 мл LB-среды. После 30 мин инкубации при 37° С клетки высевали на чашки с LB-агаром, содержащим 40 мкг/мл ампициллина. Трансформанты анализировали по чувствительности к тетрациклину, перекалывая на чашки с LB-агаром, содержащим ампициллин (40 мкг/мл) и тетрациклин (10 мкг/мл).

**б. Анализ клонов гибридизацией с фрагментами ДНК T7.** Клоны перекалывали на чашки с LB-агаром, содержащим ампициллин, покрытыми нитроцеллюлозными фильтрами BA-85. Клетки растяли 12 ч, фильтры с колониями обрабатывали по методу [14]. Гибридизацию ДНК рекомбинантных плазмид, иммобилизованных на фильтрах, проводили с 10 мкг  $^{32}\text{P}$ -меченых ник-трансляцией фрагментами ДНК T7 *BspI*-M1 и *BspI*-J4 (удельная активность фрагментов составляла 20 мКБи/мкг). Меченные фрагменты перед гибридизацией денатурировали прогреванием в тече-

ние 5 мин при 100° С в 75% диметилсульфоксида. Среди проанализированных клонов было найдено 26 клонов, ДНК плазмид которых гибридизовалась с фрагментом *Bsp*I-M1, и 12 клонов, ДНК плазмид которых гибридизовалась с фрагментом *Bsp*I-J4. Среди этих клонов только у шести клонов ДНК плазмид гибридизировалась с обоими фрагментами.

в. Анализ ДНК гибридных плазмид. Биомассу для анализа ДНК плазмид выращивали из бактериальной колонии в течение 12 ч в 10 мл LB-среды, плазмидные ДНК выделяли по методике [33]. ДНК рекомбинантных плазмид pSK-T7, гибридизующихся с фрагментами ДНК Т7, анализировали электрофорезом в 1% агарозе после гидролиза 1 мкг плазмидной ДНК эндонуклеазой *Eco*RI. Из данных рестрикционного анализа шести плазмидных ДНК pSK-T7 только две содержали вставку длиной ~3000 н. п., отщепляемую из состава ДНК плазмиды рестриктазой *Eco*RI. В одной из плазмидных ДНК длина вставки составляла ~2000 н. п., в трех ДНК вставки не отщеплялись, по-видимому, вследствие потери *Eco*RI-сайта. Мы сосредоточили внимание на анализе ДНК плазмид, вставки которых отщеплялись *Eco*RI и соответствовали длине ~3000 н. п. Эти плазмиды (в дальнейшем плазмиды pSK-T7-1.0а и pSK-T7-1.0б) выделяли в препаративном масштабе из 1 л культуры клеток по методу [34]. 10 мкг ДНК плазмид pSK-T7-1.0 гидролизовали эндонуклеазой *Eco*RI, образовавшиеся фрагменты разделяли электрофорезом в агарозном геле. Нижний фрагмент, соответствующий вставке, электроэлюировали из геля, осаждали и вводили <sup>32</sup>P-метку ник-трансляцией. <sup>32</sup>P-Меченный фрагмент-вставку использовали для гибридизации с фрагментами ДНК Т7 из *Bsp*I-гидролизата, иммобилизованными на нитроцеллюлозном фильтре BA-85, по методу [37].

г. Рестрикционный анализ ДНК плазмид pSK-T7-1.0. ДНК плазмид pSK-T7-1.0 (3 мкг) гидролизовали эндонуклеазой *Bsp*I или же *Bsp*I в присутствии *Eco*RI в условиях, описанных выше. После гидролиза фрагменты осаждали спиртом, растворяли в буфере TE и анализировали электрофорезом в ПААГ.

9. Анализ активности РНК-полимеразы в грубых лизатах клеток *E. coli*. Клетки *E. coli* HB101(pBR322), *E. coli* HB101(pSK-T7-1.0) и *E. coli* В выращивали в 5 мл LB-среды до мутности  $A_{550}$  3, клетки *E. coli* В заражали фагом Т7, как описано выше. Клетки осаждали центрифугированием и суспендировали в 0,3 мл буфера, содержащего 20 mM трис-НCl (pH 7,9), 10 mM MgCl<sub>2</sub>, 10 mM β-меркаптоэтанол, 50 мкМ рифампицин. К суспензии клеток добавляли лизоцим до концентрации 1 мг/мл и инкубировали 20 мин при 0° С. Клетки разрушали обработкой ультразвуком. Смесь центрифугировали 15 мин при 8000 об/мин. Из супернатанта отбирали аликвоту 30 мкл и добавляли в реакционную смесь (270 мкл), содержащую указанный выше буфер, 0,1 мг/мл ДНК Т7, 0,4 mM ATP, GTP, UTP и CTP (меченым использовали [<sup>14</sup>C]ATP с удельной активностью 79,5 мКБк/ммоль). Реакционную смесь инкубировали 20 мин при 37° С и реакцию останавливали добавлением 3 мл 5% трихлоруксусной кислоты, охлажденной до 0° С. Смесь выдерживали 10 мин при 0° С, фильтровали через нитроцеллюлозные фильтры типа HUFS (45 мкм, Synpor, ЧССР), осадок промывали 20 мл 5% трихлоруксусной кислоты. Фильтры высушивали и определяли радиоактивность в толуольном сцинтилляторе на счетчике Mark-III (Nuclear Chicago).

Химические реакции, использованные для специфической фрагментации ДНК при секвенировании. Перед проведением химических реакций образец ДНК, меченной <sup>32</sup>P по концевому звену, разделяли на четыре равные части по радиоактивности. Обычно в реакцию вводили  $(1-6) \cdot 10^5$  имп/мин [<sup>32</sup>P]ДНК и 15 мкг тРНК-носителя. Образцы [<sup>32</sup>P]ДНК осаждали спиртом и высушивали в вакууме. Смеси после осаждения ДНК охлаждали жидким азотом, центрифугирование проводили в течение 3 мин на настольной центрифуге фирмы Eppendorf (модель 5414).

Для селективной модификации ширимидиновых звеньев (реакция ТС) и для модификации цитидиновых звеньев в присутствии NaCl (реакция С)

использовали гидразинолиз согласно методу [20] в модификации [22]. Модификацию ДНК по гуаниновым звеньям проводили метилированием диметилсульфатом в кислой среде по [21]. Время модификаций выбирали в зависимости от определяемой длины фрагментов ДНК. Для определения положения туриновых звеньев  $^{32}\text{P}$ -меченых фрагментов ДНК использовали частичную апуринизацию, предложенную в работах [22, 23]. Разрыв цепи ДНК по модифицированным звеньям осуществляли по [20].

#### Определение нуклеотидной последовательности гена 1.0 ДНК T7.

а. Выделение фрагментов ДНК T7. ДНК фага T7 (50 ОЕ, 2,5 мг) после гидролиза одной из эндонуклеаз рестрикции *Bsp*I, *Hind*II или *Msp*I дефосфорилировали щелочной фосфатазой *E. coli*. Образовавшиеся фрагменты ДНК осаждали 75% спиртом из 1 М NaCl. Осадок растворяли в 0,5 мл буфера TE с 5% глицерином и 0,02% бромфеноловым синим. Фрагменты разделяли электрофорезом, как описано выше. В ходе работы были выделены следующие фрагменты ДНК T7: из *Bsp*I-гидролизата — J1, J4, J6, M1, G1, E1 — 3, H5; из *Msp*I-гидролизата — H1, H2, H3, G2 и G3, L1 — 3, E2, 0, D4 — 8; из *Hind*II-гидролизата — K7, J2, 14 — 5, S, M1 — 3, G1 — 5. Нумерация фрагментов соответствует нумерации, представленной на рис. 3 и в работе [14]. Из *Hpa*I-гидролизата ДНК T7 выделяли фрагменты H и G. 0,5 мг ДНК T7 расщепляли эндонуклеазой *Hpa*I в буфере B1 и в этой же реакционной смеси проводили дефосфорилирование образовавшихся фрагментов. Фракционирование продуктов гидролиза проводили в пластинах 0,7% агарозы.

б. Приготовление  $^{32}\text{P}$ -меченых фрагментов ДНК T7 для секвенирования. Фрагменты *Bsp*I-гидролизата ДНК T7. Во фрагменты M1, J6, G1, J4, E1 и H5 вводили 5'- $^{32}\text{P}$ -концевую метку. В случае меченых фрагментов M1, J6, J4, H5 после денатурации разделяли комплементарные цепи по методу [38]. 5'- $^{32}\text{P}$ -Меченные фрагменты J6, G1, E1, E5 гидролизовали эндонуклеазой *Msp*I, 5'- $^{32}\text{P}$ -фрагмент G1 — эндонуклеазой *Hind*II, 5'- $^{32}\text{P}$ -фрагмент E1 — эндонуклеазой *Hpa*I или *Alu*I. Образовавшиеся субфрагменты разделяли электрофорезом в ПААГ.

Фрагменты G1, E1 и H5 расщепляли эндонуклеазой *Msp*I, в 3'-концы образовавшихся субфрагментов вводили  $^{32}\text{P}$ -метку и разделяли электрофорезом в ПААГ.

Фрагменты из *Msp*I-гидролизата ДНК T7. Во фрагменты H1, G3, H3, H2, O и G2  $^{32}\text{P}$ -метку вводили с помощью полинуклеотидкиназы фага T4 и [ $\gamma$ - $^{32}\text{P}$ ]ATР. В случае меченых фрагментов H3, H2 и O разделяли комплементарные цепи. 5'- $^{32}\text{P}$ -Меченные фрагменты H1 и G3 гидролизовали эндонуклеазой *Bsp*I, а меченный фрагмент G2 — одной из эндонуклеаз *Hha*I, *Taq*I, *Alu*I.  $^{32}\text{P}$ -Меченные субфрагменты фракционировали электрофорезом в ПААГ.

Во фрагмент E2  $^{32}\text{P}$ -метку вводили в 3'-концы с помощью ДНК-полимеразы I и [ $\alpha$ - $^{32}\text{P}$ ]dCTР, фрагмент расщепляли эндонуклеазой *Bsp*I и выделяли меченные по одному концу субфрагменты.

Фрагменты *Hpa*I-гидролизата ДНК T7. Во фрагменты H и G вводили 5'- $^{32}\text{P}$ -концевую метку, меченный фрагмент H расщепляли эндонуклеазой *Msp*I, а фрагмент G — *Bsp*I.

Фрагмент G гидролизовали эндонуклеазой *Msp*I и продукты гидролиза метили по 3'-концам  $^{32}\text{P}$ . Меченные по одному концу фрагменты после фракционирования в ПААГ использовали для секвенирования.

Фрагменты из *Hind*II-гидролизата ДНК T7. Во фрагмент 15 вводили 5'- $^{32}\text{P}$ -метку. Меченный фрагмент расщепляли эндонуклеазой *Taq*I, образовавшиеся субфрагменты фракционировали в ПААГ.

Фрагменты из неполного *Bsp*I-гидролизата ДНК T7. Для определения ориентации фрагментов M1, J6, J4, G1, H5 из *Bsp*I-гидролизата ДНК T7 относительно генома были выделены фрагменты IV—IX из неполного *Bsp*I-гидролизата ДНК T7 (см. рис. 2). Во фрагменты IV—IX вводили 5'- $^{32}\text{P}$ -концевую метку, подвергали полному гидролизу эндонуклеазой *Bsp*I и продукты разделяли в ПААГ. Фрагменты *Bsp*I — M1, J6, G1, J4 и H5,  $^{32}\text{P}$ -меченные по одному концу, выделяли из геля и использовали для секвенирования.

Приготовление  $^{32}\text{P}$ -меченых фрагментов ДНК плазмид pSK-T7-1.0. 500 мкг ДНК плазмиды pSK-T7-1.0а или pSK-T7-1.0b, выделенных по методу [34], гидролизовали эндонуклеазой EcoRI и продукты гидролиза разделяли в агарозном геле. Фрагмент, содержащий вставку длиной 3000 н. п., выделяли из геля электроэлюзией. Для определения нуклеотидной последовательности фрагменты из состава EcoRI-вставки плазмид приготавляли следующим образом:

а) EcoRI-фрагмент (10 пмоль) из состава ДНК pSK-T7-1.0а или pSK-T7-1.0b метили  $^{32}\text{P}$  по 3'-концам и затем подвергали гидролизу эндонуклеазой BspI, после разделения в ПААГ  $^{32}\text{P}$ -меченные фрагменты использовали для секвенирования, а внутренние фрагменты BspI-G1 и -J4 после электроэлюзии из геля метили по 5'-концам  $^{32}\text{P}$ . 5'- $^{32}\text{P}$ -Меченный фрагмент G1 расщепляли эндонуклеазой HindII, а меченный фрагмент J4 — TaqI; образовавшиеся субфрагменты после фракционирования в ПААГ использовали для секвенирования;

б) EcoRI-фрагмент (5 пмоль) ДНК pSK-T7-1.0а гидролизовали эндонуклеазой MspI, в 3'-концы образовавшихся фрагментов вводили  $^{32}\text{P}$ -метку. После фракционирования в ПААГ выделяли фрагмент D6 и расщепляли эндонуклеазой TaqI или BspI. Меченные субфрагменты после разделения в ПААГ использовали для секвенирования;

в) EcoRI-фрагмент (10 пмоль) ДНК pSK-T7-1.0а или из ДНК pSK-T7-1.0b гидролизовали эндонуклеазой TaqI, в 3'-концы образовавшихся фрагментов вводили  $^{32}\text{P}$ -метку. После фракционирования в ПААГ выделяли фрагмент длиной 309 н. п. (фрагмент, покрывающий участок 4271—4579 в последовательности гена 1.0, представленной на рис. 1) и подвергали гидролизу эндонуклеазой BspI или HindII, образовавшиеся меченные субфрагменты после разделения в ПААГ использовали для секвенирования;

г) EcoRI-фрагмент (5 пмоль) ДНК pSK-T7-1.0а гидролизовали эндонуклеазой HindII, в 3'-концы образовавшихся фрагментов вводили  $^{32}\text{P}$ -метку, меченные фрагменты разделяли в ПААГ.  $^{32}\text{P}$ -Меченный фрагмент длиной 409 н. п. (HindII-фрагмент, покрывающий участок 4218—4686 в последовательности гена 1.0, представленной на рис. 1) выделяли из геля и подвергали расщеплению эндонуклеазой BspI или TaqI. Меченные субфрагменты разделяли электрофорезом в ПААГ и использовали для секвенирования.

## ЛИТЕРАТУРА

1. Овчинников Ю. А., Липкин В. М., Модянов Н. Н., Чертов О. Ю., Смирнов Ю. В., Хохряков В. С., Шуваева Т. М. Биоорган. химия, 1977, т. 3, № 2, с. 283—286.
2. Овчинников Ю. А., Монастырская Г. С., Губанов В. В., Гурьев С. О., Соломатина И. С., Шуваева Т. М., Липкин В. М., Свердлов Е. Д. Докл. АН СССР, 1981, т. 261, № 3, с. 763—768.
3. Ovchinnikov Yu. A., Monastyrskaya G. S., Gubanov V. V., Guriev S. O., Chertov O. Yu., Polovnikova I. N., Lipkin V. M., Sverdlov E. D. Eur. J. Biochem., 1981, v. 116, № 3, p. 621—629.
4. Burton Z., Burgess R. R., Lin J., Moore D., Holder S., Gross C. A. Nucl. Acids Res., 1981, v. 9, № 12, p. 2889—2904.
5. Chamberlin M., McGrath J., Waskell L. Nature, 1970, v. 228, № 5268, p. 227—231.
6. Chamberlin M., Ring J. J. Biol. Chem., 1973, v. 248, № 6, p. 2235—2244.
7. Dunn J. J., Studier F. W. J. Mol. Biol., 1983, v. 166, № 4, p. 477—535.
8. Grachev M. A., Pletnev A. G. FEBS Lett., 1981, v. 127, № 1, p. 53—56.
9. Stahl S. J., Zinn K. J. Mol. Biol., 1981, v. 148, № 4, p. 481—485.
10. Серпинский О. И., Каргинова Е. А., Миркюков Н. Н., Кравченко В. В., Зайчиков Е. Ф., Максимова Т. Г., Онищенко А. И., Плетнев А. Г., Митина Ю. Л. Биоорган. химия, 1982, т. 8, № 6, с. 840—847.
11. McConnell D. J. Nucl. Acids Res., 1979, v. 6, № 11, p. 3491—3503.
12. Грачев М. А., Зайчиков Е. Ф., Кравченко В. В., Плетнев А. Г. Докл. АН СССР, 1978, т. 239, № 2, с. 475—478.
13. Грачев М. А., Зайчиков Е. Ф., Максимова Т. Г., Плетнев А. Г. Биоорган. химия, 1979, т. 5, № 10, с. 1587—1590.
14. Studier F. W., Rosenberg A. H., Simon M. N., Dunn J. J. J. Mol. Biol., 1979, v. 135, № 4, p. 917—937.
15. Thayer R. E. Analyt. Biochem., 1979, v. 98, № 1, p. 60—63.
16. Stüber D., Bujard H. Proc. Nat. Acad. Sci. USA, 1981, v. 78, № 1, p. 167—171.

47. Brosius J., Cate R. L., Perlmutter A. P. J. Biol. Chem., 1982, v. 257, № 15, p. 9205–9210.
48. Hinkle D. C., Mangel W. F., Chamberlin M. J. J. Mol. Biol., 1972, v. 70, № 2, p. 209–220.
49. Chamberlin M., Ring J. J. Mol. Biol., 1973, v. 248, № 6, p. 2245–2250.
50. Maxam A., Gilbert W. Proc. Nat. Acad. Sci. USA, 1977, v. 74, № 2, p. 560–564.
51. Коробко В. Г., Грачев С. А., Колосов М. Н. Биоорган. химия, 1978, т. 4, № 9, с. 1281–1283.
52. Коробко В. Г., Грачев С. А. Биоорган. химия, 1977, т. 3, № 10, с. 1420–1422.
53. Свердлов Е. Д., Левитан Т. Л. Биоорган. химия, 1976, т. 2, № 3, с. 370–375.
54. Osterman H. L., Coleman J. E. Biochemistry, 1981, v. 20, № 17, p. 4884–4892.
55. Shine J., Dalgarno L. Proc. Nat. Acad. Sci. USA, 1974, v. 71, № 4, p. 1342–1346.
56. Niles E. G., Conlon S. W., Summers W. C. Biochemistry, 1974, v. 13, № 19, p. 3904–3916.
57. Иванова Е. М., Кутягин И. В., Плетнев А. Г., Шаманин В. А. Биоорган. химия, 1982, т. 8, № 11, с. 1501–1516.
58. Bron S., Murray K., Trautner T. A. Mol. Gen. Genet., 1975, v. 143, № 1, p. 13–23.
59. Sato S., Hutchison C. A., Harris J. I. Proc. Nat. Acad. Sci. USA, 1977, v. 74, № 2, p. 542–546.
60. Gonzalez N., Wiggs J., Chamberlin M. J. Arch. Biochem. and Biophys., 1977, v. 182, № 2, p. 404–408.
61. Studier F. W. Virology, 1969, v. 39, № 3, p. 562–574.
62. Studier F. W. J. Mol. Biol., 1965, v. 11, № 2, p. 373–390.
63. Birnboim H. C., Doig J. Nucl. Acids Res., 1979, v. 7, № 6, p. 1513–1523.
64. Guerry P., Le Blanc D. J., Falkow S. J. Bacteriol., 1973, v. 116, № 2, p. 1064–1066.
65. Klenow H., Overgaard-Hansen K., Patkar S. S. Eur. J. Biochem., 1971, v. 22, № 3, p. 371–381.
66. Allington W. B., Cordry A. L., McCullough G. A., Mitchell D. E., Nelson J. W. Analyt. Biochem., 1978, v. 85, № 1, p. 188–196.
67. Southern E. M. J. Mol. Biol., 1975, v. 98, № 3, p. 503–517.

Поступила в редакцию  
18.X.1983

## T7 PHAGE RNA POLYMERASE: CLONING AND SEQUENCING OF GENE

GRACHEV M. A., PLETNEV A. G.

*Novosibirsk Institute of Organic Chemistry, Siberian Branch  
of the Academy of Sciences of the USSR, Novosibirsk*

Gene 1.0 of T7 phage coding for a phage-specific RNA polymerase has been cloned in a plasmid vector. One of the clones obtained, viz. *E. coli* K12 HB101(pSK-T7-1.0a), produced an active T7 RNA polymerase as revealed by the fact that its extract stimulated RNA synthesis on the T7 DNA template in the presence of rifampicin. Analysis of gene 1.0 fragments isolated from pSK-T7-1.0a plasmid made it possible to refine the sequence of this gene which has been recently published by the authors of the present paper and, independently, by other workers. Another plasmid, pSK-T7-1.0b, did not differ from pSK-T7-1.0a in the restriction map. However, it failed to induce production of a rifampicin-insensitive RNA polymerase. Sequencing revealed a deletion of one T residue in gene 1.0 present in this plasmid.